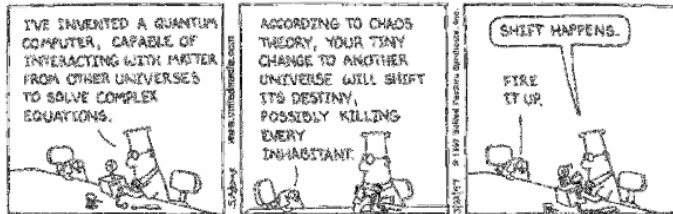


Quantum Computer I (QC)

Jacek Szczytko, Wydział Fizyki UW

1. Komputery kwantowe
 - a. Logika bramek
 - b. Kwantowe algorytmy
 - c. Jak zbudować taki komputer?



Copyright © 1997 United Feature Syndicate, Inc.
Redistribution in whole or in part prohibited.

"Where a calculator on the Eniac is equipped with 18000 vacuum tubes and weighs 30 tons, computers in the future may have only 1000 tubes and weigh only 1 1/2 tons"

Popular Mechanics, March 1949

Jacek.Szczytko@fuw.edu.pl

Zapis skrócony

DYGRESJA

Stan pojedynczej cząstki:

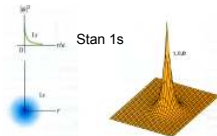
Np.: funkcja falowa atomu wodoru

$$\Psi = R_{n,l}(r)\Theta_{l,m}(\theta)\Phi_m(\phi)$$

$$R_{n,l}(r) = \sqrt{\frac{(n-l+1)!}{2n(n+l)!}} \left(\frac{2Z}{na_0}\right)^{3/2} e^{-\rho/2} \rho^l G_{n-l-1}^{2l+1}(\rho)$$

$$\Theta_{l,m}(\theta) = (-1)^m \sqrt{\frac{2l+1}{2\pi} \frac{(l-m)!}{(l+m)!}} P_l^m(\cos\theta)$$

$$\Phi_m(\phi) = C e^{im\phi}$$



Liczby kwantowe!

$$\Psi = R_{n,l}(r)\Theta_{l,m}(\theta)\Phi_m(\phi) = |n, l, m\rangle$$

Jacek.Szczytko@fuw.edu.pl

Zapis skrócony

DYGRESJA

(czyli tak naprawdę)

$$\Psi_{n,l,m}(\vec{r}, t) = \langle \vec{r} | n, l, m \rangle = |n, l, m\rangle$$

Reprezentacja położeniowa

Zapis skrócony


Jacek.Szczytko@fuw.edu.pl

Jacek.Szczytko@fuw.edu.pl


Bity, P-bity, Q-bity

Bit

0




1




States: 0 or 1

Pbit

0



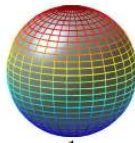
1



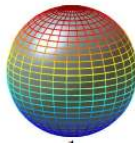
{p:0, (1-p):1}

Qubit

0



1



$\alpha|0\rangle + \beta|1\rangle$

$|\alpha|^2 + |\beta|^2 = 1$

> *Introduction to Quantum Information Processing*

> E. Knill, R. Laflamme, H. Barnum, D. Dalvit, J. Dziarmaga,

> J. Gubernatis, L. Gurvits, G. Ortiz, L. Viola and W. H. Zurek


> |

Jacek.Szczytko@fuw.edu.pl


Bity, P-bity, Q-bity

Bit

0




1




States: 0 or 1

Pbit

0



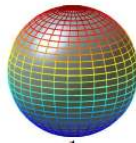
1



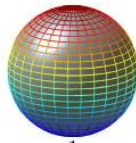
{p:0, (1-p):1}

Qubit

0



1



$\alpha|0\rangle + \beta|1\rangle$

$|\alpha|^2 + |\beta|^2 = 1$

> komputery (maszyny Turinga)

> standardowe programy


> |

Jacek.Szczytko@fuw.edu.pl


Bity, P-bity, Q-bity

Bit

0




1




States: 0 or 1

Pbit

0



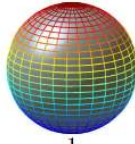
1



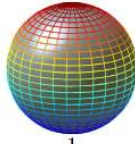
{p:0, (1-p):1}

Qubit

0



1



$\alpha|0\rangle + \beta|1\rangle$

$|\alpha|^2 + |\beta|^2 = 1$

> „logika rozmyta”

> metody obliczeniowe typu Monte Carlo

> algorytmy genetyczne


> metody optymalizacji |

Jacek.Szczytko@fuw.edu.pl


Bity, P-bity, Q-bity

Bit

0




1




States: 0 or 1

Pbit

0



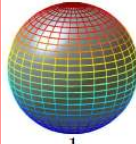
1



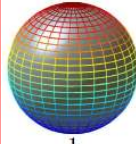
{p:0, (1-p):1}

Qubit

0



1



$\alpha|0\rangle + \beta|1\rangle$

$|\alpha|^2 + |\beta|^2 = 1$

> komputery kwantowe

> algorytmy kwantowe

> |

Bity, P-bity, Q-bity

Kwantowym odpowiednikiem klasycznego bitu jest dowolny układ dwustanowy:

dwa poziomy atomy $\{|g\rangle, |e\rangle\}$ np. $g = 1s, e = 2s$

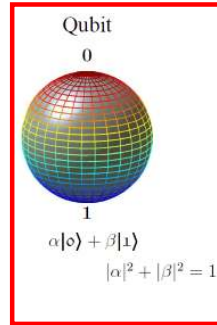
spin elektronu $\{|\uparrow\rangle, |\downarrow\rangle\}$

foton o dwóch wzajemnie ortogonalnych stanach

polaryzacji $\{|\rightarrow\rangle, |\uparrow\rangle\}$

tp. Taki układ to qubit (quantum bit); po polsku kubit.

Dwa stany układu, które możemy nazwać $|0\rangle$ i $|1\rangle$ przez analogie do klasycznego bitu, $\{0, 1\}$, tworzą bazę standardową albo obliczeniową — $\{|0\rangle, |1\rangle\}$

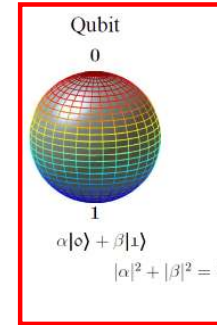


<http://zon8.physd.amu.edu.pl/~tanasi/>

Jacek.Szczytko@fuw.edu.pl

Bity, P-bity, Q-bity

Obliczenia kwantowe bazują na dwóch własnościach światła kwantowego:
1. splątaniu kwantowym (kodowanie)
2. interferencji stanów (obliczenia)



Jacek.Szczytko@fuw.edu.pl

Bity, P-bity, Q-bity

$$|\text{kubit}\rangle = |\Psi\rangle = \alpha|0\rangle + \beta|1\rangle$$

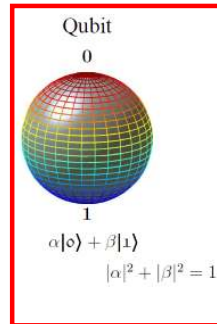
$$\alpha, \beta \in \mathbb{C} \quad |\alpha|^2 + |\beta|^2 = 1$$

ponieważ α i β zespolone – równanie sfery

$$|\Psi\rangle = e^{i\alpha} \left(\cos\left(\frac{\theta}{2}\right) |0\rangle + e^{i\varphi} \sin\left(\frac{\theta}{2}\right) |1\rangle \right)$$

$$(a_x, a_y, a_z) = (\sin \theta \cos \varphi, \sin \theta \sin \varphi, \cos \theta)$$

$$|a_x|^2 + |a_y|^2 + |a_z|^2 = 1$$



Jacek.Szczytko@fuw.edu.pl

Bity, P-bity, Q-bity

$$|\text{kubit}\rangle = |\Psi\rangle = \alpha|0\rangle + \beta|1\rangle$$

$$\alpha, \beta \in \mathbb{C} \quad |\alpha|^2 + |\beta|^2 = 1$$

ponieważ α i β zespolone – równanie sfery

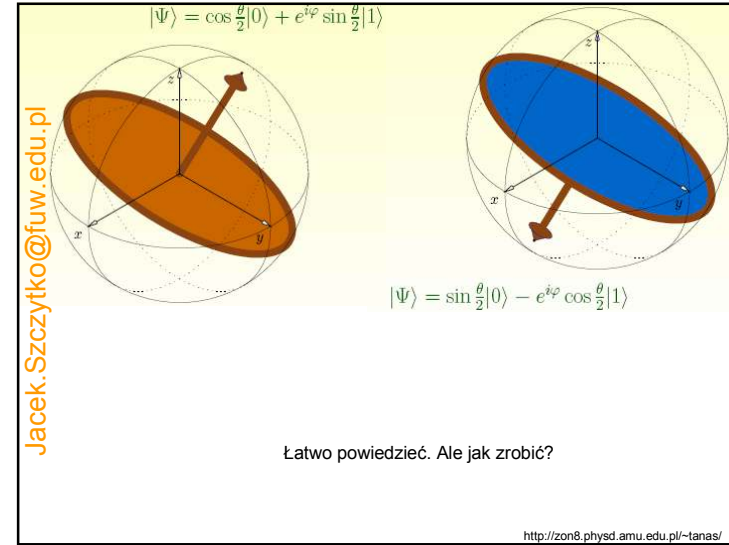
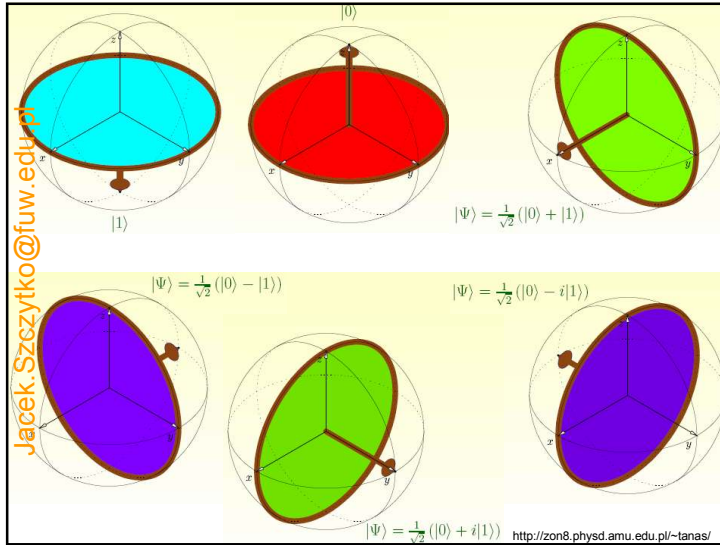
$$|\Psi\rangle = e^{i\alpha} \left(\cos\left(\frac{\theta}{2}\right) |0\rangle + e^{i\varphi} \sin\left(\frac{\theta}{2}\right) |1\rangle \right)$$

$$(a_x, a_y, a_z) = (\sin \theta \cos \varphi, \sin \theta \sin \varphi, \cos \theta)$$

$$|a_x|^2 + |a_y|^2 + |a_z|^2 = 1$$

$$\begin{aligned} |\Psi\rangle &= |0\rangle \\ |\Psi\rangle &= |1\rangle \\ |\Psi\rangle &= \frac{1}{\sqrt{2}}(|0\rangle + |1\rangle) \\ |\Psi\rangle &= \frac{1}{\sqrt{2}}(|0\rangle - |1\rangle) \\ |\Psi\rangle &= \frac{1}{\sqrt{5}}(|0\rangle - 2|1\rangle) \\ |\Psi\rangle &= \frac{1}{5}(3|0\rangle - 4|1\rangle) \\ |\Psi\rangle &= \frac{1}{\sqrt{2}}(|0\rangle + i|1\rangle) \\ |\Psi\rangle &= \frac{1}{5}(4|0\rangle - 3i|1\rangle) \\ |\Psi\rangle &= \frac{1}{\sqrt{2}}(|0\rangle + e^{i\varphi}|1\rangle) \\ |\Psi\rangle &= \frac{1}{\sqrt{2}}(e^{i\theta}|0\rangle + e^{i\varphi}|1\rangle) \end{aligned}$$

Jacek.Szczytko@fuw.edu.pl



Bramki kubitowe

Jacek.Szczytko@fuw.edu.pl

W rolach głównych:

foton $\rightsquigarrow |\rightarrow\rangle = |0\rangle$

i foton $\rightsquigarrow |\uparrow\rangle = |1\rangle$

W pozostałych rolach:

- Pryzmat z całkowitym Wewnętrznym odbiciem
- Płytkę szklaną o grubości d
- Detektor

Bramki kubitowe

Jacek.Szczytko@fuw.edu.pl

$|0\rangle \rightsquigarrow \dots \rightsquigarrow |1\rangle$

$|0\rangle \rightsquigarrow \dots \rightsquigarrow e^{i\theta}|0\rangle$

Płytkę szklaną na drodze optycznej zmienia fazę fotonu W PORÓWNANIU do fazy fotonu bez płytki.

Bramki kubitowe

Jacek.Szczytko@fuw.edu.pl

?

Bramki kubitowe

Jacek.Szczytko@fuw.edu.pl

Prawdopodobieństwo 1/2

$$\left| \frac{i}{\sqrt{2}} \right|^2 = \left| \frac{1}{\sqrt{2}} \right|^2 = \frac{1}{2}$$

Bramki kubitowe

Jacek.Szczytko@fuw.edu.pl

Umiemy zmieszać stany!

Bramki kubitowe

Jakie jest prawdopodobieństwo, że foton znajdzie się w detektorze A?

Jacek.Szczytko@fuw.edu.pl

Interferometr Macha-Zendera

Bramki kubitowe

Jakie jest prawdopodobieństwo, że foton znajdzie się w detektorze A?

$\frac{1}{\sqrt{2}}|0\rangle$

Jacek.Szczytko@fuw.edu.pl

Interferometr Macha-Zendera

Bramki kubitowe

Jakie jest prawdopodobieństwo, że foton znajdzie się w detektorze A?

$\frac{1}{\sqrt{2}} \times e^{i\theta} |0\rangle$

Jacek.Szczytko@fuw.edu.pl

Interferometr Macha-Zendera

Bramki kubitowe

Jakie jest prawdopodobieństwo, że foton znajdzie się w detektorze A?

$\frac{1}{\sqrt{2}} \times e^{i\theta} |0\rangle$

Jacek.Szczytko@fuw.edu.pl

Interferometr Macha-Zendera

Bramki kubitowe

Jakie jest prawdopodobieństwo, że foton znajdzie się w detektorze A?

$\frac{1}{\sqrt{2}} \times e^{i\theta} \times \frac{1}{\sqrt{2}} |0\rangle$

Jacek.Szczytko@fuw.edu.pl

Interferometr Macha-Zendera

Bramki kubitowe

Jakie jest prawdopodobieństwo, że foton znajdzie się w detektorze A?

$\frac{1}{\sqrt{2}} \times e^{i\theta} \times \frac{1}{\sqrt{2}} |0\rangle +$ druga droga

jacek.szczytko@fuw.edu.pl

Interferometr Macha-Zendera

Bramki kubitowe

Jakie jest prawdopodobieństwo, że foton znajdzie się w detektorze A?

$\frac{1}{\sqrt{2}} \times e^{i\theta} \times \frac{1}{\sqrt{2}} |0\rangle + \frac{i}{\sqrt{2}} |0\rangle$

jacek.szczytko@fuw.edu.pl

Interferometr Macha-Zendera

Bramki kubitowe

Jakie jest prawdopodobieństwo, że foton znajdzie się w detektorze A?

$\frac{1}{\sqrt{2}} \times e^{i\theta} \times \frac{1}{\sqrt{2}} |0\rangle + \frac{i}{\sqrt{2}} |0\rangle$

jacek.szczytko@fuw.edu.pl

Interferometr Macha-Zendera

Bramki kubitowe

Jakie jest prawdopodobieństwo, że foton znajdzie się w detektorze A?

$\frac{1}{\sqrt{2}} \times e^{i\theta} \times \frac{1}{\sqrt{2}} |0\rangle + \frac{i}{\sqrt{2}} \times \frac{i}{\sqrt{2}} |0\rangle$

jacek.szczytko@fuw.edu.pl

Interferometr Macha-Zendera

Bramki kubitowe

Jakie jest prawdopodobieństwo, że foton znajdzie się w detektorze A?

$$\frac{1}{\sqrt{2}} \times e^{i\theta} \times \frac{1}{\sqrt{2}} |0\rangle + \frac{i}{\sqrt{2}} \times \frac{i}{\sqrt{2}} |0\rangle = \frac{1}{2} (e^{i\theta} - 1) |0\rangle$$

Interferometr Macha-Zendera

Jacek.Szczytko@fuw.edu.pl

Bramki kubitowe

Jakie jest prawdopodobieństwo, że foton znajdzie się w detektorze A?

$$\frac{1}{\sqrt{2}} \times e^{i\theta} \times \frac{1}{\sqrt{2}} |0\rangle + \frac{i}{\sqrt{2}} \times \frac{i}{\sqrt{2}} |0\rangle = \frac{1}{2} (e^{i\theta} - 1) |0\rangle$$

Prawdopodobieństwo: $P_{0,A} = \left| \frac{1}{2} (e^{i\theta} - 1) \right|^2 = \frac{1}{2} (1 - \cos \theta)$

Jacek.Szczytko@fuw.edu.pl

Bramki kubitowe

Jakie jest prawdopodobieństwo, że foton znajdzie się w detektorze A?

$$\frac{1}{\sqrt{2}} \times e^{i\theta} \times \frac{1}{\sqrt{2}} |0\rangle + \frac{i}{\sqrt{2}} \times \frac{i}{\sqrt{2}} |0\rangle = \frac{1}{2} (e^{i\theta} - 1) |0\rangle$$

Prawdopodobieństwo: $P_{0,A} = \left| \frac{1}{2} (e^{i\theta} - 1) \right|^2 = \frac{1}{2} (1 - \cos \theta)$

Analogicznie: $P_{0,B} = \left| \frac{i}{2} (e^{i\theta} + 1) \right|^2 = \frac{1}{2} (1 + \cos \theta)$

Dla $\theta = 0$ mamy $P_{0,A} = 0$ i $P_{0,B} = 1$, a więc foton NIGDY nie trafi do detektora A, tylko na pewno trafi do B! Oczywiście dla $\theta = 180^\circ$ jest odwrotnie!

Jacek.Szczytko@fuw.edu.pl

Dygresja: pomiar BEZ oddziaływania

Dla $\theta = 0$ mamy $P_{0,A} = 0$ i $P_{0,B} = 1$, a więc foton NIGDY nie trafi do detektora A, tylko na pewno trafi do B!

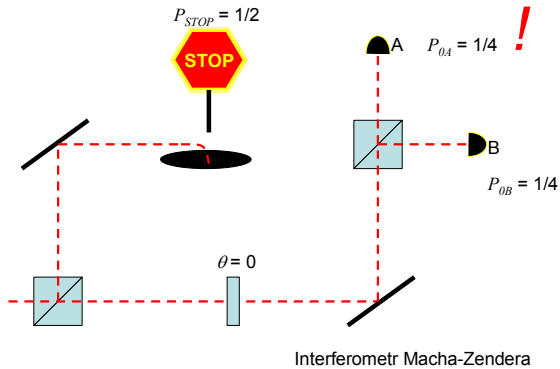
Foton interferuje SAM ZE SOBA!

Interferometr Macha-Zendera

Jacek.Szczytko@fuw.edu.pl

Dygresja: pomiar BEZ oddziaływania

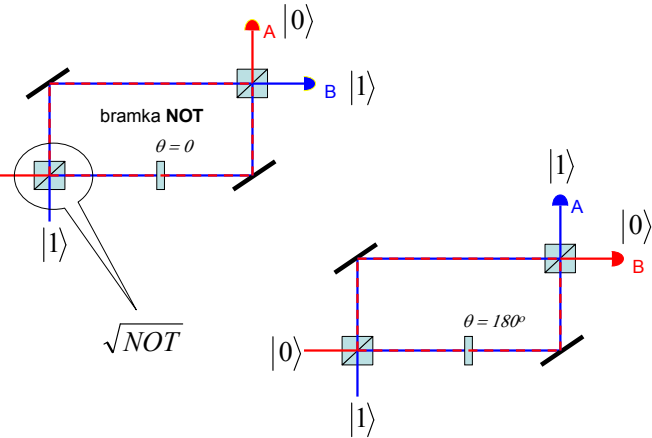
Ale co się stanie gdy na jednej z dróg interferometru stanie przeszkoda?



Jacek.Szczytko@fuw.edu.pl

Bramki kubitowe

W zależności od fazy θ możemy otrzymać wynik:

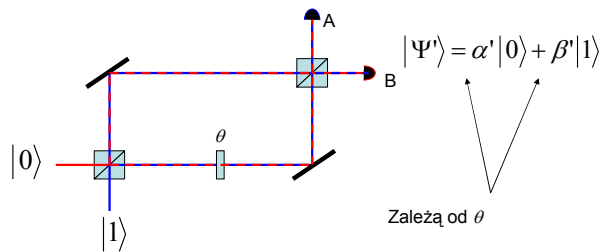


Jacek.Szczytko@fuw.edu.pl

Bramki kubitowe

Ogólnie

$$|\Psi\rangle = \alpha|0\rangle + \beta|1\rangle$$



Matematycznie:

$$\begin{pmatrix} |\Psi\rangle \\ |\Psi'\rangle \end{pmatrix} = \begin{pmatrix} \alpha & \beta \\ \alpha' & \beta' \end{pmatrix} \begin{pmatrix} |0\rangle \\ |1\rangle \end{pmatrix} = U \begin{pmatrix} |0\rangle \\ |1\rangle \end{pmatrix}$$

przekształcenie unitarne

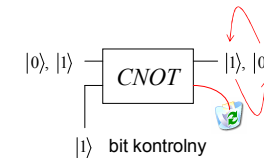
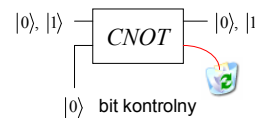
Jacek.Szczytko@fuw.edu.pl

Bramki kubitowe

$$\sqrt{NOT} = \frac{1}{\sqrt{2}} \begin{pmatrix} 1+i & 1-i \\ 1-i & 1+i \end{pmatrix}$$

$$NOT = \begin{pmatrix} 0 & 1 \\ 1 & 0 \end{pmatrix} = \begin{pmatrix} |0\rangle \\ |1\rangle \end{pmatrix} \begin{pmatrix} \langle 1| \\ \langle 0| \end{pmatrix}$$

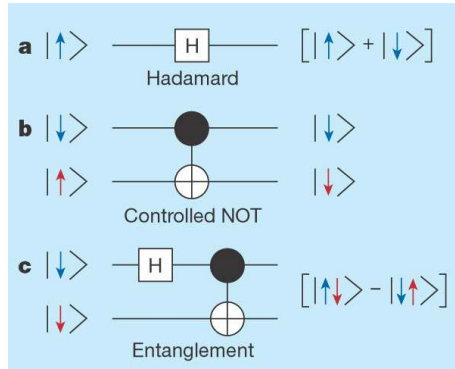
Bramki kwantowe muszą być odwracalne!



Bramki CNOT są bramkami „uniwersalnymi” – można za ich pomocą zbudować dowolny obwód logiczny.

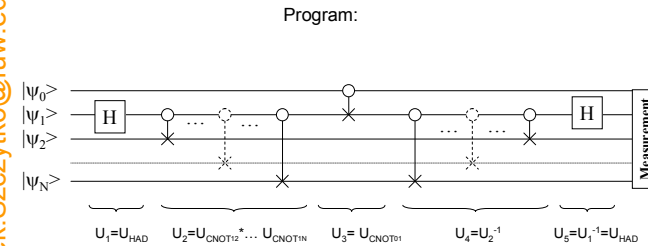
Jacek.Szczytko@fuw.edu.pl

Bramki kubitowe

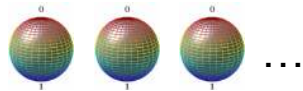


Quantum computing: The qubit duet
Gianni Blatter
Nature 421, 796-797 (20 February 2003)

Bramki kubitowe



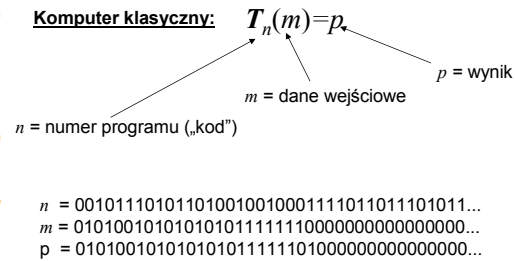
Różne pomysły



1. Kubity ze spinów
2. Kubity z atomów
3. Kubity jądrowe
4. Kubity krzemowe
5. Kubity z kropek
6. Kubity z ekscytonów
7. Kubity nadprzewodzące
8. Kubity świetlne

Za tydzień!

Kwantowe procedury:



Jacek.Szczytko@fuw.edu.pl

Kwantowe procedury:

Komputer klasyczny: $T_n(m)=p$

n = numer programu („kod”) m = dane wejściowe p = wynik

$n = 001011101011010010010010001111011011101011...$
 $m = \text{tak samo, ale zamiast bitów mamy kubity } \Psi$
 $p = 01010010101010101111101000000000000000...$

Jacek.Szczytko@fuw.edu.pl

Kwantowe procedury:

Komputer klasyczny: $T_n(m)=p$

n = numer programu („kod”) m = dane wejściowe p = wynik

$n = 001011101011010010010001111011011101011...$
 $m = \text{tak samo, ale zamiast bitów mamy kubity } \Psi$
 $p = 01010010101010101111101000000000000000...$

Komputer kwantowy: $Q_n(\Psi)=p$

Jacek.Szczytko@fuw.edu.pl

Kwantowe procedury:

Jak zbudować rejestr z kubitów?

Komputer kwantowy: $Q_n(\Psi)=p$

Jeden kubit:

baza: $|0\rangle, |1\rangle$ $\downarrow \uparrow$

rejestr: $|\Psi\rangle = \alpha_0|0\rangle + \alpha_1|1\rangle$ $\alpha_0^2 + \alpha_1^2 = 1$

Dla dwóch kubitów:

baza: $|0\rangle|0\rangle, |0\rangle|1\rangle, |1\rangle|0\rangle, |1\rangle|1\rangle$ $\downarrow\downarrow \downarrow\uparrow \uparrow\downarrow \uparrow\uparrow$

rejestr: $|\Psi\rangle = \alpha_{00}|0\rangle|0\rangle + \alpha_{01}|0\rangle|1\rangle + \alpha_{10}|1\rangle|0\rangle + \alpha_{11}|1\rangle|1\rangle$ $\alpha_{00}^2 + \alpha_{01}^2 + \alpha_{10}^2 + \alpha_{11}^2 = 1$

Dla trzech kubitów:

baza: $|0\rangle|0\rangle|0\rangle, |0\rangle|0\rangle|1\rangle, |0\rangle|1\rangle|0\rangle, |0\rangle|1\rangle|1\rangle,$
 $|1\rangle|0\rangle|0\rangle, |1\rangle|0\rangle|1\rangle, |1\rangle|1\rangle|0\rangle, |1\rangle|1\rangle|1\rangle,$ $\downarrow\downarrow\downarrow \downarrow\downarrow\uparrow \downarrow\uparrow\downarrow \downarrow\uparrow\uparrow$

rejestr: $|\Psi\rangle = \alpha_{000}|0\rangle|0\rangle|0\rangle + \alpha_{001}|0\rangle|0\rangle|1\rangle + \alpha_{010}|0\rangle|1\rangle|0\rangle + \dots + \alpha_{111}|1\rangle|1\rangle|1\rangle$

itd.. $\alpha_{000}^2 + \alpha_{001}^2 + \alpha_{010}^2 + \dots + \alpha_{111}^2 = 1$

Jacek.Szczytko@fuw.edu.pl

Kwantowe procedury:

Jak zbudować rejestr z kubitów?

Komputer kwantowy: $Q_n(\Psi)=p$

Ogólnie jeden rejestr N -kubitowy może przechować 2^N „klasycznych” liczb!

Dla dwóch kubitów baza obliczeń:

$|0\rangle|0\rangle, |0\rangle|1\rangle, |1\rangle|0\rangle, |1\rangle|1\rangle$
 $\downarrow\downarrow \downarrow\uparrow \uparrow\downarrow \uparrow\uparrow$
0 1 2 3

Na przykład:

$|\Psi\rangle = |2\rangle$

$|\Psi\rangle = \frac{1}{\sqrt{2}}(|0\rangle - i|3\rangle)$

$|\Psi\rangle = \frac{1}{2}(|0\rangle + |1\rangle + |2\rangle + |3\rangle)$ ← Wszystkie stany jednakowo prawdopodobne (maksymalne splećanie kwantowe)

$|\Psi\rangle = \frac{1}{2}(|0\rangle - |1\rangle + i|2\rangle - |3\rangle)$ ← i tu też wszystkie stany jednakowo prawdopodobne

$|\Psi\rangle = \frac{1}{\sqrt{529}} \left(|0\rangle + \frac{i}{23}|1\rangle + \frac{8}{234323}|2\rangle + \frac{\sqrt{12}}{13123133}|3\rangle \right)$

Kwantowe procedury:

Komputer kwantowy: $Q_n(\Psi)=p$

Ogólnie jeden rejestr N -kubitowy może przechować 2^N „klasycznych” liczb!
Przy $N=300$ liczba 2^{300} przekracza ilość protonów we Wszechświecie (widzialnym)!

Komputer kwantowy wykonuje operacje na całym rejestrze, czyli na wszystkich 2^N liczbach jednocześnie. Nazywa się to **kwantowym paralelizmem**.

Pewne algorytmy będą działały szybciej na komputerze kwantowym.

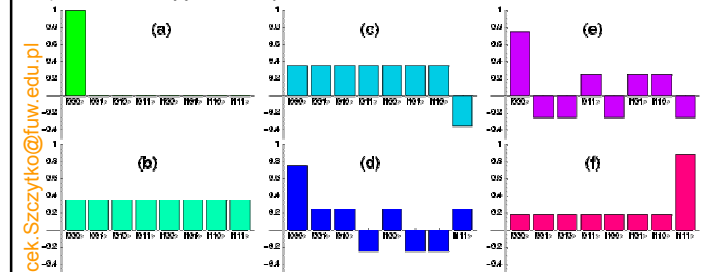
Aby móc odczytać wynik końcowy trzeba go jeszcze odseparować od wszystkich możliwych wyników. Wykorzystuje się kwantową interferencję stanów.

Jacek.Szczytko@fuw.edu.pl

Kwantowe procedury:

Komputer kwantowy: $Q_n(\Psi)=p$

- Program zaczyna się od przygotowania superpozycji wszystkich możliwych danych wejściowych
- Wykonanie programu daje superpozycję wszystkich możliwych wyników (każdy ze składników superpozycji kwantowej działa niezależnie od innych)
- Oddzielenie wyników następuje na skutek kwantowej interferencji. Faza składników superpozycji kwantowej jest przygotowywana w ten sposób, aby najbardziej prawdopodobny wynik pomiaru odpowiadał interesującemu nas wynikowi.



Kwantowe procedury:

Komputer kwantowy: $Q_n(\Psi)=p$

Przykład:

Systemy kryptograficzne z kluczem publicznym wykorzystują fakt, że rozkład dużej liczby na czynniki jest trudny (czasochłonny)

- Najszybszy obecnie algorytm (GNFS – General Number Field Sieve) wymaga czasu

$$\sim \exp\left[\left(\frac{64}{9} N\right)^{1/3} (\ln N)^{2/3}\right]$$

faktoryzacja liczby 400 cyfrowej wymagałaby 10^{10} lat!

- W 1994 r. RSA 129 został złamany na 1600 stacjach roboczych w ciągu 8 miesięcy

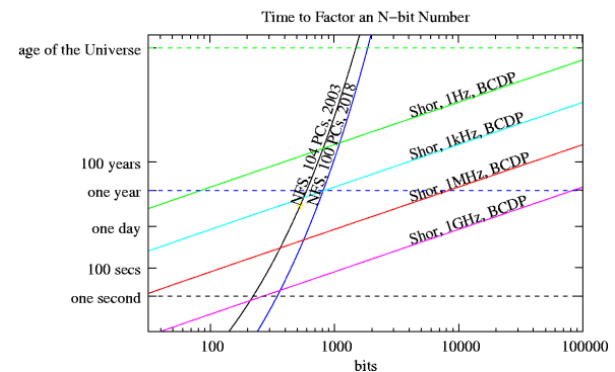
- Algorytm kwantowy Petera Shora wymaga czasu $\sim (\ln N)^{2+\epsilon}$

Komputer kwantowy, który faktoryzowałby liczbę 130 cyfrowa w ciągu miesiąca, sfaktoryzowałby liczbę 400 cyfrowa w czasie krótszym niż 3 lata

<http://zon8.physd.amu.edu.pl/~tanasi/>

Jacek.Szczytko@fuw.edu.pl

Algorytm Shora Factoring Larger Numbers



Algorytm Shora

Jacek.Szczytko@fuw.edu.pl



Peter Shor

<http://www-math.mit.edu/~shor/>

arXiv:quant-ph/9508027 v2 [25 Jan 1996]

Polynomial-Time Algorithms for Prime Factorization and Discrete Logarithms on a Quantum Computer

Peter W. Shor

Abstract

A digital computer is generally believed to be an efficient universal computing device that is, it is believed able to simulate any physical computing device with an increase in size and time that is polynomial in the size of the original device. This may not be true unless quantum computers are used. This paper describes factoring integers and finding discrete logarithms, two problems which are generally thought not to be hard on a standard computer and which have been used as the basis of several proposed cryptosystems. Efficient randomized algorithms are given for these two problems on a hypothetical quantum computer. These algorithms take a number of steps that would be the square of the number of digits of the integer to be factored.

Трёхмерные алгоритмы факторизации простых чисел и дискретных логарифмов, использующие квантовый параллелизм, позволяют решать эти задачи за полиномиальное время.

Алгоритмы факторизации простых чисел и дискретных логарифмов, использующие квантовый параллелизм, позволяют решать эти задачи за полиномиальное время.

*A preliminary version of this paper appeared in the Proceedings of the 35th Annual Symposium on Foundations of Computer Science, Santa Fe, NM, Nov. 20-22, 1994. IEEE Computer Society Press, pp. 124-134.

†AT&T Research, Room 2D-149, 600 Mountain Ave., Murray Hill, NJ 07974.

Algorytm Shora

Prof. Ryszard Tanas <http://zon8.physd.amu.edu.pl/~tanas/>

Kwantowa faktoryzacja

Chcemy sfaktoryzować liczbę N , $N = 15$. Wybieramy liczbę losową $1 < X < N - 1$ względnie pierwszą z N , tzn. taką, że $\text{NWD}(N, X) = 1$, powiedzmy

$X = 2$.

- Przygotowujemy rejestr kwantowy w stanie superpozycji wszystkich liczb od 0 do 15

A	0	1	2	3	4	5	6	7	8	9	10	11	12	13	14
---	---	---	---	---	---	---	---	---	---	---	----	----	----	----	----

- Wykonujemy operację $B = X^A \bmod N$, wykorzystując kwantowy paralelizm i wyniki umieszczamy w rejestrze B. Komputer kwantowy wykonuje taką operację w jednym kroku!

A	0	1	2	3	4	5	6	7	8	9	10	11	12	13	14
B	1	2	4	8	1	2	4	8	1	2	4	8	1	2	4

- Zauważamy, że wyniki w rejestrze B są okresowe z okresem $r = 4$

Komputer kwantowy potrafi szybko znajdować okres funkcji!

Jacek.Szczytko@fuw.edu.pl

Algorytm Shora

A	0	1	2	3	4	5	6	7	8	9	10	11	12	13	14
B	1	2	4	8	1	2	4	8	1	2	4	8	1	2	4

Jeśli r jest nieparzyste, to wybieramy inne X i zaczynamy procedurę od nowa. Jeśli r jest parzyste, obliczamy $P = X^{r/2} - 1$ lub $P = X^{r/2} + 1$ i sprawdzamy $\text{NWD}(P, N)$. W naszym przykładzie $r = 4$ i $P = 2^{4/2} - 1 = 3$ lub $P = 2^{4/2} + 1 = 5$.

$$15/3 = 5$$

$$15/5 = 3$$

Jacek.Szczytko@fuw.edu.pl

Algorytm Shora

Prof. Ryszard Tanas <http://zon8.physd.amu.edu.pl/~tanas/>

Kwantowa faktoryzacja

Chcemy sfaktoryzować liczbę N , $N = 15$. Wybieramy liczbę losową $1 < X < N - 1$ względnie pierwszą z N , tzn. taką, że $\text{NWD}(N, X) = 1$, powiedzmy

$X = 7$.

- Przygotowujemy rejestr kwantowy w stanie superpozycji wszystkich liczb od 0 do 15

A	0	1	2	3	4	5	6	7	8	9	10	11	12	13	14
---	---	---	---	---	---	---	---	---	---	---	----	----	----	----	----

- Wykonujemy operację $B = X^A \bmod N$, wykorzystując kwantowy paralelizm i wyniki umieszczamy w rejestrze B. Komputer kwantowy wykonuje taką operację w jednym kroku!

A	0	1	2	3	4	5	6	7	8	9	10	11	12	13	14
B	1	7	4	13	1	7	4	13	1	7	4	13	1	7	4

- Zauważamy, że wyniki w rejestrze B są okresowe z okresem $r = 4$

Komputer kwantowy potrafi szybko znajdować okres funkcji!

Jacek.Szczytko@fuw.edu.pl

Jacek.Szczytko@fuw.edu.pl

Algorytm Shora

VOLUME 85, NUMBER 25 PHYSICAL REVIEW LETTERS 18 DECEMBER 2000

Experimental Realization of an Order-Finding Algorithm with an NMR Quantum Computer

Lieven M. K. Vandersypen,^{1,2*} Matthias Steffen,^{1,2} Gregory Breyer,²

Costantino S. Yamoni,² Richard Cleve,³ and Isaac L. Chuang²

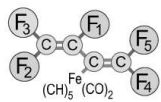
¹Solid State and Photonics Laboratory, Stanford University, Stanford, California 94305-4075

²IBM Almaden Research Center, San Jose, California 95120

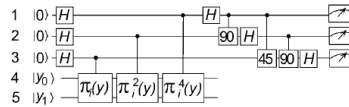
³Department of Computer Science, University of Calgary, Calgary, Alberta, Canada T2N 1N4

(Received 1 August 2000)

We report the realization of a nuclear magnetic resonance quantum computer which combines the quantum Fourier transform with exponentiated permutations, demonstrating a quantum algorithm for order finding. This algorithm has the same structure as Shor's algorithm and its speedup over classical algorithms scales exponentially. The implementation uses a particularly well-suited five quantum bit molecule and was made possible by a new state initialization procedure and several quantum control techniques.



pentafluorobutadienyl cyclopentadienyldicarbonyliron complex



Algorytmy kwantowe

Jacek.Szczytko@fuw.edu.pl

W tej chwili znanych jest mniej więcej 6 znaczących algorytmów kwantowych

- Deutsch-Josza (1992) – funkcja stała lub zrównoważona
- Shor (1994) - Faktoryzacja
- Kitaev (1995) - Faktoryzacja
- Grover (1992) - Przeszukiwanie bazy danych
- Grover (1997) - Szacowanie mediany
- Durr-Hoyer (1996) - Szacowanie minimum

http://www.if.ufrgs.br/~jgallas/QUBITS/CURSO/brief_history.html

Jacek.Szczytko@fuw.edu.pl

Poważny problem

Skoro to takie proste, to dlaczego to jeszcze nie działa?



Słownik Kopalińskiego: * **koherencja** spistość, spójność; zgodność (myśli, sądów; częstotliwości i długości fal). Koherencję można opisać jako stopień korelacji czasowej i przestrzennej między wartościami amplitud.

Poważny problem

W czasie trwania procedury kwantowej wszystkie procesy MUSZĄ być odwracalne w czasie. W mechanice kwantowej POMIAR jest najczęściej nieodwracalny - w momencie pomiaru „dowiadujemy” się w jakim stanie jest funkcja (tzw. *redukcja f. falowej*)

$$\Psi = A\Psi_A + B\Psi_B$$

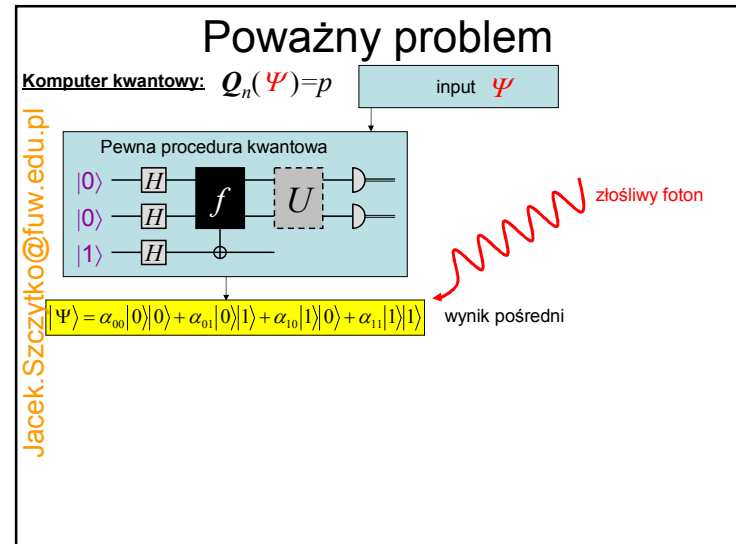
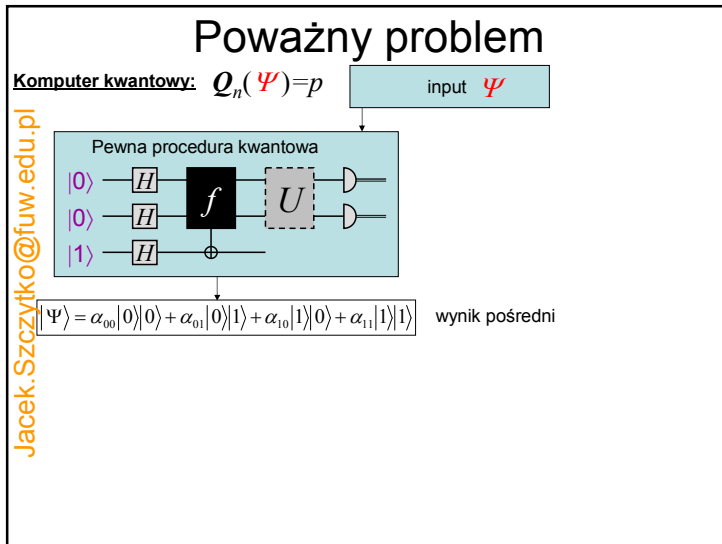
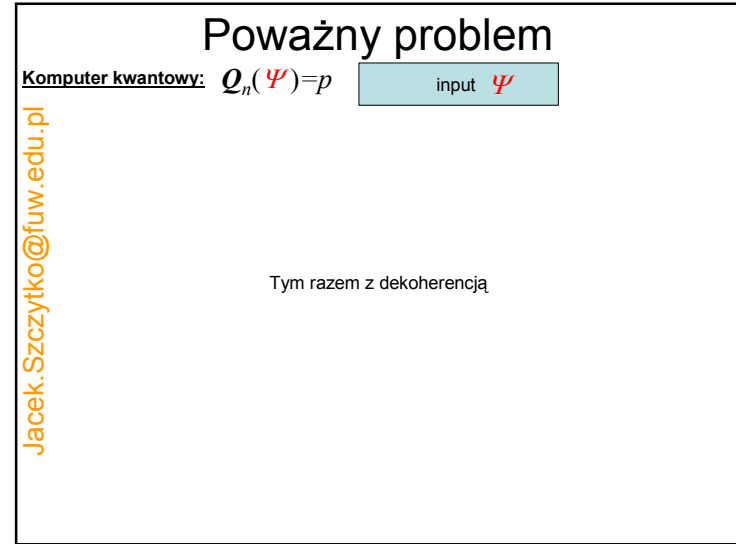
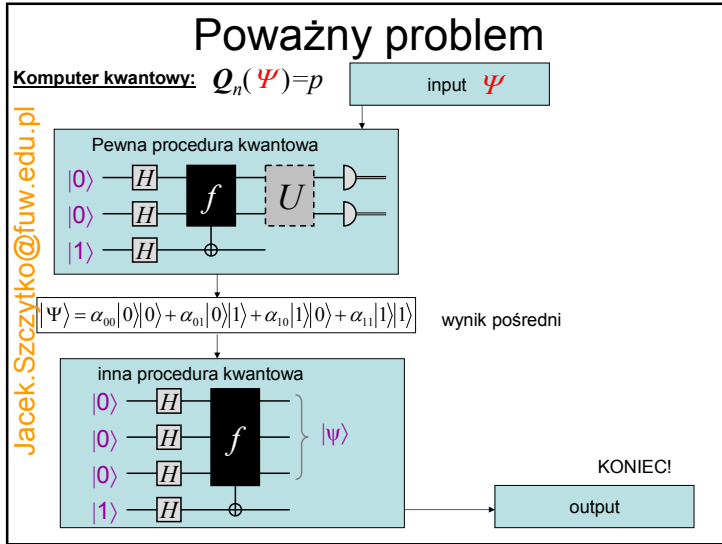
pomiar
A lub B

$$\begin{array}{l} \xrightarrow{P_A=1, P_B=0} \Psi = \Psi_A \\ \xrightarrow{P_A=0, P_B=1} \Psi = \Psi_B \end{array}$$

$P_A = |A|^2$
 $P_B = |B|^2$

Zakaz klonowania sprawia, że nie można się dowiedzieć wartości każdej ze składowych A lub B z osobna.

„Pomiarem” może być przypadkowe oddziaływanie z sąsiednim układem, szum (przypadkowa zmiana fazy funkcji falowej), oddziaływanie z aparaturą pomiarową, absorpcja fotonu termicznego itd.



Poważny problem

Komputer kwantowy: $Q_n(\Psi)=p$ input Ψ

Jacek.Szczytko@fuw.edu.pl

Pewna procedura kwantowa

$|\Psi\rangle = \beta|0\rangle|0\rangle + \gamma|1\rangle|0\rangle$ fałszywy wynik pośredni

Poważny problem

Komputer kwantowy: $Q_n(\Psi)=p$ input Ψ

Jacek.Szczytko@fuw.edu.pl

Pewna procedura kwantowa

$|\Psi\rangle = \beta|0\rangle|0\rangle + \gamma|1\rangle|0\rangle$ fałszywy wynik pośredni

inna procedura kwantowa

WYNIK FAŁSZYWY!

output

Poważny problem

Rozwiązania:

1. Procedury kwantowej korekcji błędów

Jacek.Szczytko@fuw.edu.pl

Figure 12: The fault-tolerant Toffoli gate. Each line represents a block of 7 qubits, and the gates are implemented transversally. For each measurement, the arrow points to the set of gates that is to be applied if the measurement outcome is 1; no action is taken if the outcome is 0.

J. Preskill quant-ph/9705031

Poważny problem

Rozwiązania:

1. Procedury kwantowej korekcji błędów

Jacek.Szczytko@fuw.edu.pl

2. Na czas działania procedur kwantowych układ należy odizolować od wpływu otoczenia (liczy się tzw. czas koherencji, w którym układ pozostaje spójny).

Dekoherencja ogranicza rozmiary rejestru kwantowego

Jacek.Szczytko@fuw.edu.pl

Nowe podejścia



Available online at www.sciencedirect.com
SCIENCE @ DIRECT
 Theoretical Computer Science 320 (2004) 15–33

Theoretical
Computer Science
www.elsevier.com/locate/tcs

Quantum computing without entanglement[☆]

Eli Biham^a, Gilles Brassard^b, Dan Kenigsberg^a, Tal Mor^a

^aComputer Science Department, Technion, Haifa 32000, Israel

^bDépartement d'informatique et de recherche opérationnelle, Université de Montréal, Montréal, Qué., Canada, H3C 3J7

